

**Zulassungsstelle für Bauprodukte und Bauarten**

**Bautechnisches Prüfamts**

Eine vom Bund und den Ländern  
gemeinsam getragene Anstalt des öffentlichen Rechts



## Europäische Technische Bewertung

**ETA-12/0084**  
**vom 3. Februar 2017**

### Allgemeiner Teil

Technische Bewertungsstelle, die die Europäische Technische Bewertung ausstellt

Deutsches Institut für Bautechnik

Handelsname des Bauprodukts

Injektionssystem Hilti HIT-HY 200-R

Produktfamilie,  
zu der das Bauprodukt gehört

Verbunddübel zur Verankerung im Beton

Hersteller

Hilti Aktiengesellschaft  
9494 SCHAAN  
FÜRSTENTUM LIECHTENSTEIN

Herstellungsbetrieb

Hilti Werke

Diese Europäische Technische Bewertung enthält

36 Seiten, davon 3 Anhänge

Diese Europäische Technische Bewertung wird gemäß der Verordnung (EU) Nr. 305/2011 auf der Grundlage von

Leitlinie für die europäische technische Zulassung für "Metalldübel zur Verankerung im Beton" ETAG 001 Teil 5: "Verbunddübel", April 2013, verwendet als Europäisches Bewertungsdokument (EAD) gemäß Artikel 66 Absatz 3 der Verordnung (EU) Nr. 305/2011, ausgestellt.

Diese Fassung ersetzt

ETA-12/0084 vom 14. April 2015

Die Europäische Technische Bewertung wird von der Technischen Bewertungsstelle in ihrer Amtssprache ausgestellt. Übersetzungen dieser Europäischen Technischen Bewertung in andere Sprachen müssen dem Original vollständig entsprechen und müssen als solche gekennzeichnet sein.

Diese Europäische Technische Bewertung darf, auch bei elektronischer Übermittlung, nur vollständig und ungekürzt wiedergegeben werden. Nur mit schriftlicher Zustimmung der ausstellenden Technischen Bewertungsstelle kann eine teilweise Wiedergabe erfolgen. Jede teilweise Wiedergabe ist als solche zu kennzeichnen.

Die ausstellende Technische Bewertungsstelle kann diese Europäische Technische Bewertung widerrufen, insbesondere nach Unterrichtung durch die Kommission gemäß Artikel 25 Absatz 3 der Verordnung (EU) Nr. 305/2011.

## Besonderer Teil

### 1 Technische Beschreibung des Produkts

Das Injektionssystem Hilti HIT-HY 200-R ist ein Verbunddübel, der aus einem Foliengebinde mit Injektionsmörtel Hilti HIT-HY 200-R und einem Stahlteil gemäß Anhang A besteht.

Das Stahlteil wird in ein mit Injektionsmörtel gefülltes Bohrloch gesteckt und durch Verbund zwischen Stahlteil, Injektionsmörtel und Beton verankert.

Die Produktbeschreibung ist in Anhang A angegeben.

### 2 Spezifizierung des Verwendungszwecks gemäß dem anwendbaren Europäischen Bewertungsdokument

Von den Leistungen in Abschnitt 3 kann nur ausgegangen werden, wenn der Dübel entsprechend den Angaben und Bedingungen nach Anhang B verwendet wird.

Die Prüf- und Bewertungsmethoden, die dieser Europäischen Technischen Bewertung zu Grunde liegen, führen zur Annahme einer Nutzungsdauer des Dübels von mindestens 50 Jahren. Die Angabe der Nutzungsdauer kann nicht als Garantie des Herstellers verstanden werden, sondern ist lediglich ein Hilfsmittel zur Auswahl des richtigen Produkts in Bezug auf die angenommene wirtschaftlich angemessene Nutzungsdauer des Bauwerks.

### 3 Leistung des Produkts und Angaben der Methoden ihrer Bewertung

#### 3.1 Mechanische Festigkeit und Standsicherheit (BWR 1)

Wesentliches Merkmal	Leistung
Charakteristische Werte unter statischen und quasi-statischen Einwirkungen für Bemessung nach TR 029, Verschiebungen	Siehe Anhang C1 bis C12
Charakteristische Werte für die seismischen Leistungskategorien C1 für die Bemessung nach Technical Report TR 045, Verschiebungen	Siehe Anhang C13 bis C16

#### 3.2 Brandschutz (BWR 2)

Wesentliches Merkmal	Leistung
Brandverhalten	Der Dübel erfüllt die Anforderungen der Klasse A1
Feuerwiderstand	Keine Leistung festgestellt (KLF)

#### 3.3 Hygiene, Gesundheit und Umweltschutz (BWR 3)

Bezüglich gefährlicher Stoffe können die Produkte im Geltungsbereich dieser Europäischen Technischen Bewertung weiteren Anforderungen unterliegen (z. B. umgesetzte europäische Gesetzgebung und nationale Rechts- und Verwaltungsvorschriften). Um die Bestimmungen der Verordnung (EU) Nr. 305/2011 zu erfüllen, müssen gegebenenfalls diese Anforderungen ebenfalls eingehalten werden.

#### 3.4 Sicherheit bei der Nutzung (BWR 4)

Die wesentlichen Merkmale bezüglich Sicherheit bei der Nutzung sind unter der Grundanforderung Mechanische Festigkeit und Standsicherheit erfasst.

**4 Angewandtes System zur Bewertung und Überprüfung der Leistungsbeständigkeit mit der Angabe der Rechtsgrundlage**

Gemäß der Leitlinie für die europäische technische Zulassung ETAG 001, April 2013 verwendet als Europäisches Bewertungsdokument (EAD) gemäß Artikel 66 Absatz 3 der Verordnung (EU) Nr. 305/2011 gilt folgende Rechtsgrundlage: [96/582/EG].

Folgendes System ist anzuwenden: 1

**5 Für die Durchführung des Systems zur Bewertung und Überprüfung der Leistungsbeständigkeit erforderliche technische Einzelheiten gemäß anwendbarem Europäischen Bewertungsdokument**

Technische Einzelheiten, die für die Durchführung des Systems zur Bewertung und Überprüfung der Leistungsbeständigkeit notwendig sind, sind Bestandteil des Prüfplans, der beim Deutschen Institut für Bautechnik hinterlegt ist.

Ausgestellt in Berlin am 3. Februar 2017 vom Deutschen Institut für Bautechnik

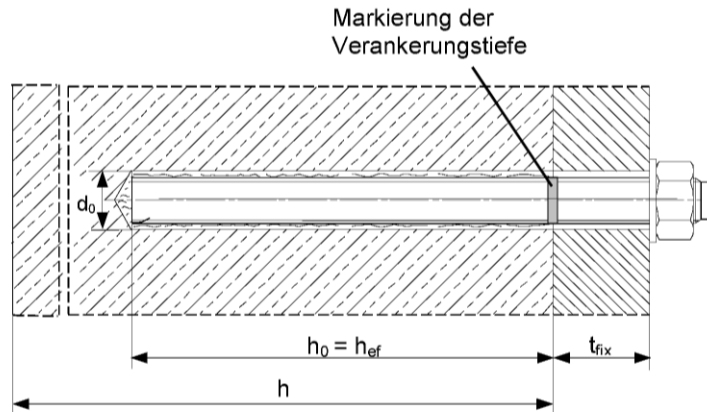
Uwe Bender  
Abteilungsleiter

Beglaubigt

## Einbauzustand

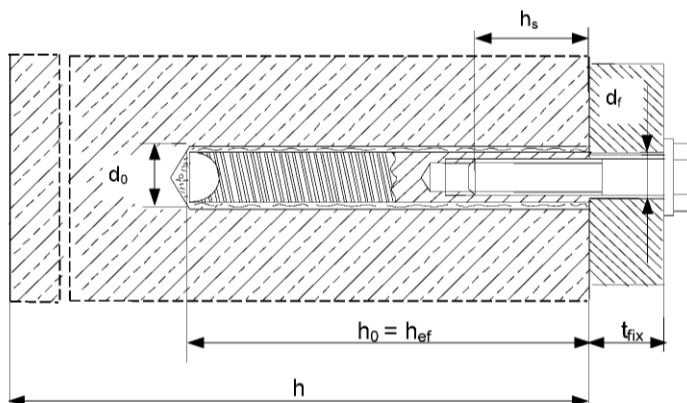
### Bild A1:

Gewindestange und HIT-V-..., AM 8.8



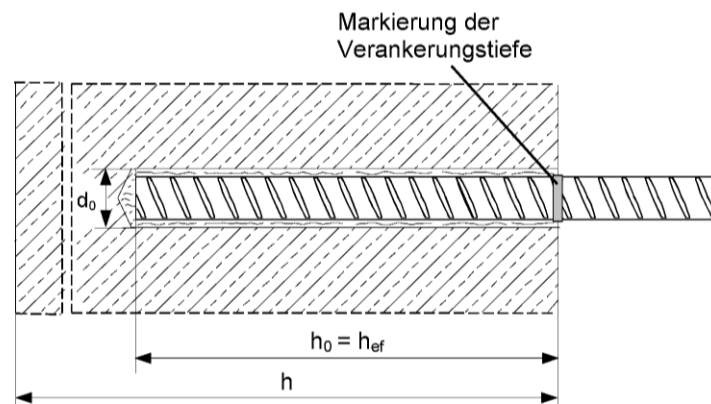
### Bild A2:

Innengewindehülse HIS-(R)N



### Bild A3:

Betonstahl



Injektionssystem Hilti HIT-HY 200-R

Produktbeschreibung  
Einbauzustand

Anhang A1

## Produktbeschreibung: Injektionsmörtel und Stahlelemente

**Injektionsmörtel Hilti HIT-HY 200-R:** Hybridsystem mit Zuschlag  
330 ml und 500 ml

Kennzeichnung:  
HILTI-HIT  
Chargennummer und  
Produktionslinie  
Verfallsdatum mm/yyyy



Produktname: "Hilti HIT-HY 200-R"

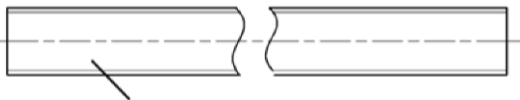
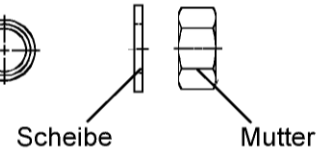
### Statikmischer Hilti HIT-RE-M



### Stahlelemente



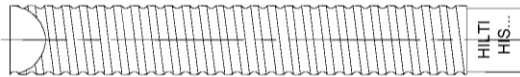
Gewindestange und HIT-V-...: M8 bis M30



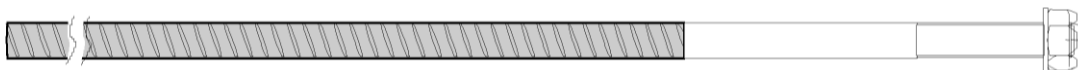
Hilti Meter Gewindestange AM 8.8, Galvanisch verzinkt M8 bis M30, 1m bis 3m

Handelsübliche Gewindestange:

- Werkstoffe und mechanische Eigenschaften gemäß Tabelle A1.
- Abnahmeprüfzeugnis 3.1 gemäß EN 10204:2004. Die Dokumente sind aufzubewahren.
- Markierung der Verankerungstiefe.



Innengewindehülse: HIS-(R)N M8 bis M20



Hilti Zuganker: HZA M12 bis M27 und HZA-R M12 bis M24

### Injektionssystem Hilti HIT-HY 200-R

**Produktbeschreibung**  
Injektionsmörtel / Statikmischer / Stahlelemente

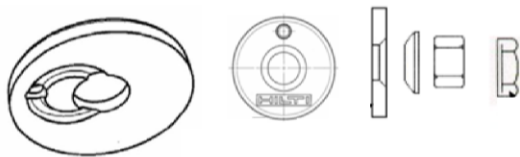
**Anhang A2**

## Produktbeschreibung: Injektionsmörtel und Stahlelemente



### Betonstahl: $\phi$ 8 bis $\phi$ 32

- Werkstoffe und mechanische Eigenschaften gemäß Tabelle A1
- Abmessungen gemäß Anhang B6



Hilti Verfüll-Set

Injektionssystem Hilti HIT-HY 200-R

### Produktbeschreibung

Injektionsmörtel / Statikmischer / Stahlelemente

Anhang A3

**Tabelle A1: Werkstoffe**

Bezeichnung	Werkstoff
<b>Stahlteile aus Betonstahl</b>	
Betonstahl: EN 1992-1-1: 2004 und AC:2010, Annex C	Stäbe und Betonstabstahl vom Ring Klasse B oder C mit $f_{yk}$ und $k$ gemäß NDP oder NCL gemäß EN 1992-1-1/NA:2013 $f_{uk} = f_{tk} = k \cdot f_{yk}$ , Bruchdehnung $A_5 > 8 \%$
<b>Stahlteile aus verzinktem Stahl</b>	
Gewindestange, HIT-V-5.8(F)	Festigkeitsklasse 5.8, $f_{uk} = 500 \text{ N/mm}^2$ , $f_{yk} = 400 \text{ N/mm}^2$ , Bruchdehnung $A_5 > 8\%$ Galvanisch verzinkt $\geq 5 \mu\text{m}$ , (F) Feuerverzinkt $\geq 45 \mu\text{m}$
Gewindestange, HIT-V-8.8(F)	Festigkeitsklasse 8.8, $f_{uk} = 800 \text{ N/mm}^2$ , $f_{yk} = 640 \text{ N/mm}^2$ , Bruchdehnung $A_5 > 12\%$ Galvanisch verzinkt $\geq 5 \mu\text{m}$ , (F) Feuerverzinkt $\geq 45 \mu\text{m}$
Hilti Meter Gewindestange, AM 8.8	Festigkeitsklasse 8.8, $f_{uk} = 800 \text{ N/mm}^2$ , $f_{yk} = 640 \text{ N/mm}^2$ , Bruchdehnung $A_5 > 12\%$ Galvanisch verzinkt $\geq 5 \mu\text{m}$
Hilti Zuganker HZA	Rundstahl mit Gewinde: galvanisch verzinkt $\geq 5 \mu\text{m}$ Betonstabstahl Klasse B gemäß NDP oder NCL gemäß EN 1992-1-1/NA:2013
Innengewindehülse HIS-N	Galvanisch verzinkt $\geq 5 \mu\text{m}$
Scheibe	Galvanisch verzinkt $\geq 5 \mu\text{m}$ , Feuerverzinkt $\geq 45 \mu\text{m}$
Mutter	Festigkeit der Sechskantmutter abgestimmt auf Festigkeit der Gewindestange Galvanisch verzinkt $\geq 5 \mu\text{m}$ , Feuerverzinkt $\geq 45 \mu\text{m}$
Hilti Verfüll-Set	Verschluss scheibe: Galvanisch verzinkt $\geq 5 \mu\text{m}$ Kugelscheibe: Galvanisch verzinkt $\geq 5 \mu\text{m}$ Sickerungsmutter: Galvanisch verzinkt $\geq 5 \mu\text{m}$
<b>Stahlteile aus nichtrostendem Stahl</b>	
Gewindestange, HIT-V-R	Für $\leq \text{M24}$ : Festigkeitsklasse 70, $f_{uk} = 700 \text{ N/mm}^2$ , $f_{yk} = 450 \text{ N/mm}^2$ ; Für $> \text{M24}$ : Festigkeitsklasse 50, $f_{uk} = 500 \text{ N/mm}^2$ , $f_{yk} = 210 \text{ N/mm}^2$ ; Bruchdehnung $A_5 > 8\%$ Werkstoff 1.4401, 1.4404, 1.4578, 1.4571, 1.4439, 1.4362 EN 10088-1:2014
Hilti Zuganker HZA-R	Rundstahl mit Gewinde: Werkstoff 1.4404, 1.4362, 1.4571 EN 10088-1:2014 Betonstabstahl Klasse B gemäß NDP oder NCL gemäß EN 1992-1-1/NA:2013
Innengewindehülse HIS-RN	Werkstoff 1.4401, 1.4571 EN 10088-1:2014
Scheibe	Werkstoff 1.4401, 1.4404, 1.4578, 1.4571, 1.4439, 1.4362 EN 10088-1:2014
Mutter	Festigkeit der Sechskantmutter abgestimmt auf Festigkeit der Gewindestange Werkstoff 1.4401, 1.4404, 1.4578, 1.4571, 1.4439, 1.4362 EN 10088-1:2014

**Injektionssystem Hilti HIT-HY 200-R**

**Produktbeschreibung**  
Werkstoffe

**Anhang A4**

<b>Stahlteile aus hochkorrosionsbeständigem Stahl</b>	
Gewindestange HIT-V-HCR	Für $\leq M20$ : $f_{uk} = 800 \text{ N/mm}^2$ , $f_{yk} = 640 \text{ N/mm}^2$ , Für $> M20$ : $f_{uk} = 700 \text{ N/mm}^2$ , $f_{yk} = 400 \text{ N/mm}^2$ , Bruchdehnung $A_5 > 8\%$ Werkstoff 1.4529, 1.4565 EN 10088-1:2014
Scheibe	Werkstoff 1.4529, 1.4565 EN 10088-1:2014
Mutter	Festigkeit der Sechskantmutter abgestimmt auf Festigkeit der Gewindestange Werkstoff 1.4529, 1.4565 EN 10088-1:2014

**Injektionssystem Hilti HIT-HY 200-R**

**Produktbeschreibung**  
Werkstoffe

**Anhang A5**

## Angaben zum Verwendungszweck

### Befestigungen unter:

- Statischer und quasistatischer Belastung
- Seismische Leistungskategorie C1: HIT-V, Betonstahl, HZA-R, (ohne HIS-N)
- Seismische Leistungskategorie C2: HIT-V 8.8, AM 8.8 und handelsübliche Gewindestange 8.8, nur galvanisch verzinkt, Größe M16 bis M24 für Hammerbohren und Hammerbohren mit Hohlbohrern (TE-CD oder TE-YD).

### Base material:

- Bewehrter oder unbewehrter Normalbeton nach EN 206-1:2000.
- Festigkeitsklasse C20/25 bis C50/60 nach EN 206-1:2000.
- Gerissener und ungerissener Beton.

### Temperatur im Verankerungsgrund:

- **beim Einbau**  
-10 °C bis +40 °C
- **im Nutzungszustand**  
Temperaturbereich I: -40 °C bis +40 °C  
(max. Langzeit Temperatur +24 °C und max. Kurzzeit Temperatur +40 °C)  
Temperaturbereich II: -40 °C bis +80 °C  
(max. Langzeit Temperatur +50 °C und max. Kurzzeit Temperatur +80 °C)  
Temperaturbereich III: -40 °C bis +120 °C  
(max. Langzeit Temperatur +72 °C und max. Kurzzeit Temperatur +120 °C)

## Tabelle B1: Angaben zum Verwendungszweck

Befestigung unter:	HIT-HY 200-R mit ...			
	HIT-V ... AM 8.8 	Betonstahl 	HZA(-R) 	HIS-(R)N 
Hammerbohren mit Hohlbohrer TE-CD oder TE-YD 	✓	✓	✓	✓
Hammerbohren 	✓	✓	✓	✓
Statische und quasistatische Belastung in gerissenem und ungerissenem Beton	M8 bis M30	φ 8 bis φ 32	M12 bis M27	M8 bis M20
Seismische Leistungskategorie C1	M10 bis M30	φ 10 bis φ 32	M12 bis M27	-
Seismische Leistungskategorie C2	M16 bis M24 (nur galvanisch verzinkt)	-	-	-

Injektionssystem Hilti HIT-HY 200-R

Angaben zum Verwendungszweck  
Spezifikationen

Anhang B1

**Anwendungsbedingungen (Umweltbedingungen):**

- In Bauteilen unter den Bedingungen trockener Innenräume (verzinkter Stahl, nichtrostender Stahl oder hochkorrosionsbeständiger Stahl).
- Bauteile im Freien (einschließlich Industrielatmosphäre und Meeresnähe) und in Feuchträumen, wenn keine besonders aggressiven Bedingungen vorliegen (nichtrostender Stahl oder hochkorrosionsbeständiger Stahl).
- Bauteile im Freien und in Feuchträumen, wenn besonders aggressive Bedingungen vorliegen (hochkorrosionsbeständiger Stahl).  
Anmerkung: Aggressive Bedingungen sind z.B. ständiges, abwechselndes Eintauchen in Meerwasser oder der Bereich der Spritzzone von Meerwasser, chlorhaltige Atmosphäre in Schwimmbadhallen oder Atmosphäre mit extremer chemischer Verschmutzung (z. B. bei Rauchgas-Entschwefelungsanlagen oder Straßentunneln, in denen Enteisungsmittel verwendet werden).

**Bemessung:**

- Die Befestigungen müssen unter der Verantwortung eines auf dem Gebiet der Verankerungen und des Betonbaus erfahrenen Ingenieurs bemessen werden.
- Unter Berücksichtigung der zu verankernden Lasten sind prüfbare Berechnungen und Konstruktionszeichnungen anzufertigen. Auf den Konstruktionszeichnungen ist die Lage des Dübels (z. B. Lage des Dübels zur Bewehrung oder zu den Auflagern usw.) anzugeben.
- Die Bemessung der Verankerungen erfolgt in Übereinstimmung mit:  
"EOTA Technical Report TR 029, Edition September 2010"
- Befestigungen unter Erbebenbelastung (gerissener Beton) werden nach:  
"EOTA Technical Report TR 045, Edition Februar 2013"  
Die Verankerungen sind außerhalb kritischer Bereiche (z. B. plastischer Gelenke) der Betonkonstruktion anzuordnen. Eine Abstandsmontage oder die Montage auf Mörtelschicht ist für seismische Einwirkungen nicht durch diese Europäische Technische Bewertung (ETA) abgedeckt.

**Installation:**

- Nutzungskategorie: trockener oder feuchter Beton (nicht in mit Wasser gefüllten Bohrlöchern)
- Überkopfmontage ist zulässig
- Der Einbau erfolgt durch entsprechend geschultes Personal unter der Aufsicht des Bauleiters.

**Injektionssystem Hilti HIT-HY 200-R**

**Angaben zum Verwendungszweck**  
Spezifikationen

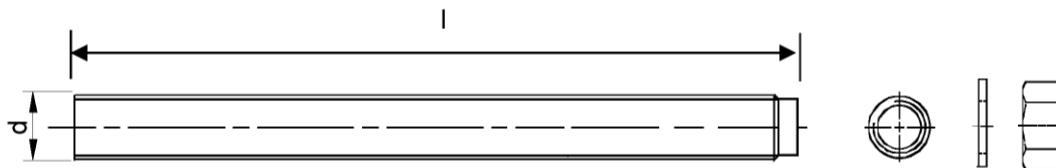
**Anhang B2**

**Tabelle B2: Montagekennwerte Gewindestange und HIT-V-..., AM 8.8**

Gewindestange und HIT-V-...			M8	M10	M12	M16	M20	M24	M27	M30
Elementdurchmesser	d	[mm]	8	10	12	16	20	24	27	30
Bohrenenddurchmesser	d <sub>0</sub>	[mm]	10	12	14	18	22	28	30	35
Effektive Verankerungstiefe und Bohrlochtiefe	h <sub>ef</sub> = h <sub>0</sub>	[mm]	60 bis 160	60 bis 200	70 bis 240	80 bis 320	90 bis 400	96 bis 480	108 bis 540	120 bis 600
Maximaler Durchmesser des Durchgangslochs im Anbauteil <sup>1)</sup>	d <sub>f</sub>	[mm]	9	12	14	18	22	26	30	33
Minimale Bauteildicke	h <sub>min</sub>	[mm]	h <sub>ef</sub> + 30 ≥ 100 mm			h <sub>ef</sub> + 2·d <sub>0</sub>				
Maximales Anzugsdrehmoment	T <sub>max</sub>	[Nm]	10	20	40	80	150	200	270	300
Minimaler Achsabstand	s <sub>min</sub>	[mm]	40	50	60	75	90	115	120	140
Minimaler Randabstand	c <sub>min</sub>	[mm]	40	45	45	50	55	60	75	80

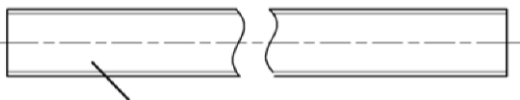
<sup>1)</sup> bei größeren Durchgangslöchern siehe "TR 029 Abschnitt 1.1"

**HIT-V-...**



**Kennzeichnung:**

- 5.8 - l = HIT-V-5.8 M...x l
- 5.8F - l = HIT-V-5.8F M...x l
- 8.8 - l = HIT-V-8.8 M...x l
- 8.8F - l = HIT-V-8.8F M...x l
- R - l = HIT-V-R M...x l
- HCR - l = HIT-V-HCR M...x l



**Hilti Meter Gewindestange AM 8.8, Galvanisch verzinkt M8 bis M30, 1m bis 3m**

**Injektionssystem Hilti HIT-HY 200-R**

**Angaben zum Verwendungszweck**  
Montagekennwerte für Gewindestange und HIT-V-... und AM 8.8

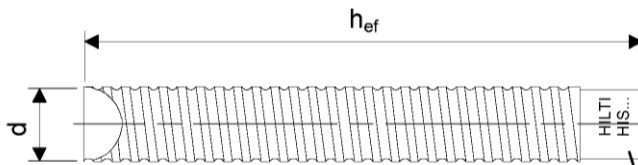
**Anhang B3**

**Tabelle B3: Montagekennwerte Innengewindehülse HIS-(R)N**

Innengewindehülse HIS-(R)N ...			M8	M10	M12	M16	M20
Hülsenaußendurchmesser	d	[mm]	12,5	16,5	20,5	25,4	27,6
Bohrenenddurchmesser	d <sub>0</sub>	[mm]	14	18	22	28	32
Effektive Verankerungstiefe und Bohrlochtiefe	h <sub>ef</sub> = h <sub>0</sub>	[mm]	90	110	125	170	205
Maximaler Durchmesser des Durchgangslochs im Anbauteil <sup>1)</sup>	d <sub>f</sub>	[mm]	9	12	14	18	22
Minimale Bauteildicke	h <sub>min</sub>	[mm]	120	150	170	230	270
Maximales Anzugsdrehmoment	T <sub>max</sub>	[Nm]	10	20	40	80	150
Einschraubtiefe min-max	h <sub>s</sub>	[mm]	8-20	10-25	12-30	16-40	20-50
Minimaler Achsabstand	s <sub>min</sub>	[mm]	60	75	90	115	130
Minimaler Randabstand	c <sub>min</sub>	[mm]	40	45	55	65	90

<sup>1)</sup> bei größeren Durchgangslöchern siehe "TR 029 Abschnitt 1.1"

**Innengewindehülse HIS-(R)N ...**



**Kennzeichnung:**  
Identifizierung - HILTI und  
Prägung "HIS-N" (für C-Stahl)  
Prägung "HIS-RN" (für rostfreien Stahl)

**Injektionssystem Hilti HIT-HY 200-R**

**Angaben zum Verwendungszweck**  
Montagekennwerte für Innengewindehülse HIS-(R)N

**Anhang B4**

**Tabelle B4: Montagekennwerte Hilti Zuganker HZA-R**

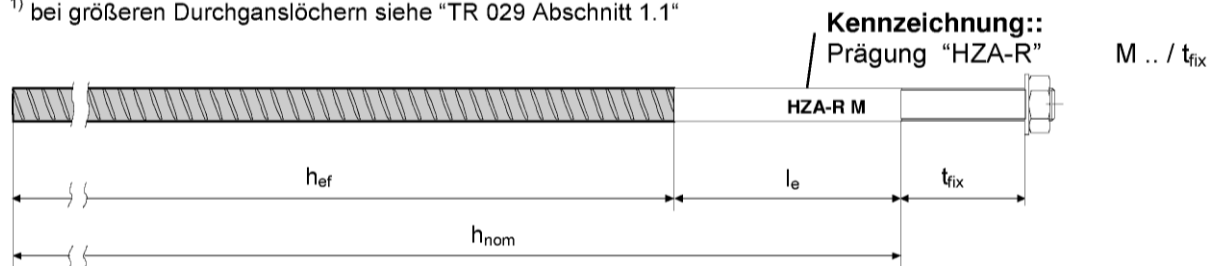
Hilti Zuganker HZA-R ...			M12	M16	M20	M24
Durchmesser des Betonstahls	$\phi$	[mm]	12	16	20	25
Nominelle Verankerungstiefe und Bohrlochtiefe	$h_{nom} = h_0$	[mm]	170 bis 240	180 bis 320	190 bis 400	200 bis 500
Effektive Verankerungslänge ( $h_{ef} = h_{nom} - l_e$ )	$h_{ef}$	[mm]	$h_{nom} - 100$			
Länge des glatten Schaftes	$l_e$	[mm]	100			
Bohrerinnendurchmesser	$d_0$	[mm]	16	20	25	32
Maximaler Durchmesser des Durchgangslochs im Anbauteil <sup>1)</sup>	$d_f$	[mm]	14	18	22	26
Maximales Anzugsdrehmoment	$T_{max}$	[Nm]	40	80	150	200
Minimale Bauteildicke	$h_{min}$	[mm]	$h_{nom} + 2 \cdot d_0$			
Minimaler Achsabstand	$s_{min}$	[mm]	65	80	100	130
Minimaler Randabstand	$c_{min}$	[mm]	45	50	55	60

<sup>1)</sup> bei größeren Durchgangslöchern siehe "TR 029 Abschnitt 1.1"

**Tabelle B5: Montagekennwerte Hilti Zuganker HZA**

Hilti Zuganker HZA ...			M12	M16	M20	M24	M27
Durchmesser des Betonstahls	$\phi$	[mm]	12	16	20	25	28
Nominelle Verankerungstiefe und Bohrlochtiefe	$h_{nom} = h_0$	[mm]	90 bis 240	100 bis 320	110 bis 400	120 bis 500	140 bis 560
Effektive Verankerungslänge ( $h_{ef} = h_{nom} - l_e$ )	$h_{ef}$	[mm]	$h_{nom} - 20$				
Länge des glatten Schaftes	$l_e$	[mm]	20				
Bohrerinnendurchmesser	$d_0$	[mm]	16	20	25	32	35
Maximaler Durchmesser des Durchgangslochs im Anbauteil <sup>1)</sup>	$d_f$	[mm]	14	18	22	26	30
Maximales Anzugsdrehmoment	$T_{max}$	[Nm]	40	80	150	200	270
Minimale Bauteildicke	$h_{min}$	[mm]	$h_{nom} + 2 \cdot d_0$				
Minimaler Achsabstand	$s_{min}$	[mm]	65	80	100	130	140
Minimaler Randabstand	$c_{min}$	[mm]	45	50	55	60	75

<sup>1)</sup> bei größeren Durchgangslöchern siehe "TR 029 Abschnitt 1.1"



**Injektionssystem Hilti HIT-HY 200-R**

**Angaben zum Verwendungszweck**  
Montagekennwerte Hilti Zuganker HZA-(R)

**Anhang B5**

**Tabelle B6: Montagekennwerte Betonstahl**

Betonstahl	$\phi$ 8	$\phi$ 10	$\phi$ 12	$\phi$ 14	$\phi$ 16	$\phi$ 20	$\phi$ 25	$\phi$ 26	$\phi$ 28	$\phi$ 30	$\phi$ 32
Durchmesser $\phi$ [mm]	8	10	12	14	16	20	25	26	28	30	32
Effektive Verankerungstiefe und Bohrlochtiefe $h_{ef} = h_0$ [mm]	60 bis 160	60 bis 200	70 bis 240	75 bis 280	80 bis 320	90 bis 400	100 bis 500	104 bis 520	112 bis 560	120 bis 600	128 bis 640
Bohrerinnendurchmesser $d_0$ [mm]	10 / 12 <sup>1)</sup>	12 / 14 <sup>1)</sup>	14 <sup>1)</sup> / 16 <sup>1)</sup>	18	20	25	32	32	35	37	40
Minimale Bauteildicke $h_{min}$ [mm]	$h_{ef} + 30$ $\geq 100$ mm			$h_{ef} + 2 \cdot d_0$							
Minimaler Achsabstand $s_{min}$ [mm]	40	50	60	70	80	100	125	130	140	150	160
Minimaler Randabstand $c_{min}$ [mm]	40	45	45	50	50	65	70	75	75	80	80

<sup>1)</sup> Beide angegebenen Bohrerinnendurchmesser können verwendet werden.

### Betonstahl



### Für Betonstahl

- Mindestwerte der bezogenen Rippenfläche  $f_{R,min}$  gemäß EN 1992-1-1:2004+AC:2010
- Die Rippenhöhe des Betonstahls  $h_{rib}$  muss die Anforderung erfüllen:  $0,05 \cdot \phi \leq h_{rib} \leq 0,07 \cdot \phi$   
( $\phi$  = Nenndurchmesser des Betonstahlelements;  $h_{rib}$ : Rippenhöhe)

**Injektionssystem Hilti HIT-HY 200-R**

**Angaben zum Verwendungszweck**  
Montagekennwerte Betonstahl

**Anhang B6**

**Tabelle B7: Maximale Verarbeitungszeit und minimale Aushärtezeit**

Temperatur im Verankerungsgrund T	Maximale Verarbeitungszeit $t_{work}$	Minimale Aushärtezeit $t_{cure}$
-10 °C bis -5 °C	3 h	20 h
> -5 °C bis 0 °C	2 h	8 h
> 0 °C bis 5 °C	1 h	4 h
> 5 °C bis 10 °C	40 min	2,5 h
> 10 °C bis 20 °C	15 min	1,5 h
> 20 °C bis 30 °C	9 min	1 h
> 30 °C bis 40 °C	6 min	1 h

**Injektionssystem Hilti HIT-HY 200-R**

**Angaben zum Verwendungszweck**  
Maximale Verarbeitungszeit und minimale Aushärtezeit

**Anhang B7**

**Tabelle B8: Angaben zu Reinigungs- und Setzwerkzeugen**

Befestigungselement				Bohren und Reinigen			Installation
HIT-V-... AM 8.8	HIS-(R)N	Betonstahl	HZA(-R)	Hammerbohren		Bürste	Stauzapfen
							
Größe	Größe	Größe	Größe	d <sub>0</sub> [mm]	d <sub>0</sub> [mm]	HIT-RB	HIT-SZ
M8	-	φ8	-	10	-	10	-
M10	-	φ8 / φ10	-	12	12	12	12
M12	M8	φ10 / φ12	-	14	14	14	14
-	-	φ12	M12	16	16	16	16
M16	M10	φ14	-	18	18	18	18
-	-	φ16	M16	20	20	20	20
M20	M12	-	-	22	22	22	22
-	-	φ20	M20	25	25	25	25
M24	M16	-	-	28	28	28	28
M27	-	-	-	30	-	30	30
-	M20	φ25 / φ26	M24	32	32	32	32
M30	-	φ28	M27	35	35	35	35
-	-	φ30	-	37	-	37	37
-	-	φ32	-	40	-	40	40

**Reinigungsalternativen**

**Handreinigung (MC):**

Zum Ausblasen von Bohrlöchern bis zu einem Durchmesser von  $d_0 \leq 20$  mm und einer Bohrlochtiefe von  $h_0 \leq 10 \cdot d$  wird die Hilti-Handausblaspumpe empfohlen.



**Druckluftreinigung (CAC):**

Zum Ausblasen mit Druckluft wird die Verwendung einer Ausblasdüse mit einem Durchmesser von mindestens 3,5 mm empfohlen.



**Automatische Reinigung (AC):**

Die Reinigung wird während dem Bohren mit dem Hilti TE-CD und TE-YD Bohrsystem inklusive Staubsauger durchgeführt.



**Injektionssystem Hilti HIT-HY 200-R**

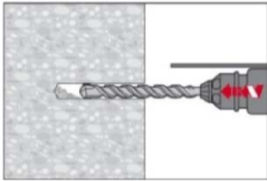
**Angaben zum Verwendungszweck**  
Angaben zu Reinigungs- und Setzwerkzeugen

**Anhang B8**

## Montageanweisung

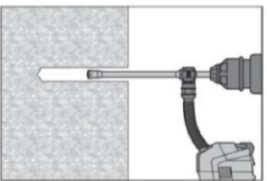
### Bohrlocherstellung

#### a) Hammerbohren



Bohrloch mit Bohrerhammer dreh Schlagend, unter Verwendung des passenden Bohrerdurchmessers auf die richtige Bohrtiefe erstellen.

#### b) Hammerbohren mit Hilti Hohlbohrer



Die Bohrlocherstellung bis zur erforderlichen Setztiefe erfolgt dreh Schlagend mit einem Hilti Hohlbohrer TE-CD oder TE-YD mit Hilti Staubsaugeranschluss. Dieses Bohrsystem beseitigt bei Anwendung gemäß der Gebrauchsanweisung des Hohlbohrers das Bohrmehl und reinigt das Bohrloch während des Bohrvorgangs. Nach Beendigung des Bohrens kann mit Mörtelverfüllung gemäß Montageanweisung begonnen werden.

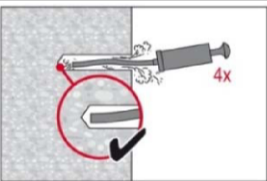
#### Bohrlochreinigung

unmittelbar vor dem Setzen des Dübels muss das Bohrloch frei von Bohrmehl und Verunreinigungen sein. Schlechte Bohrlochreinigung = geringe Traglasten.

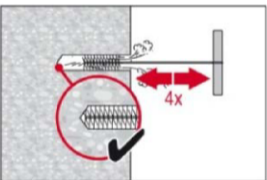
#### Handreinigung (MC)

##### Nur für ungerissenen Beton

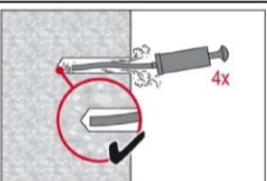
für Bohrlochdurchmesser  $d_0 \leq 20$  mm und Bohrlochtiefen  $h_0 \leq 10 \cdot d$



Für Bohrlochdurchmesser  $d_0 \leq 20$  mm und Verankerungstiefen  $h_{ef} \leq 10 \cdot d$  kann die Hilti Handausblaspumpe verwendet werden. Das Bohrloch mindestens 4-mal mit der Hilti Ausblaspumpe vom Bohrlochgrund ausblasen, bis die rückströmende Luft staubfrei ist.



4-mal mit Stahlbürste in passender Größe (siehe Tabelle B8) bürsten. Stahlbürste Hilti HIT-RB mit einer Drehbewegung in das Bohrloch bis zum Bohrlochgrund einführen und wieder herausziehen (falls notwendig mit Verlängerung). Die Bürste muss beim Einführen einen Widerstand erzeugen (Bürste  $\varnothing \geq$  Bohrloch  $\varnothing$ ) – falls nicht, ist die Bürste zu klein und muss durch eine größere Bürste ersetzt werden.



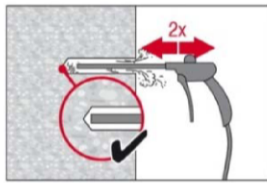
Bohrloch erneut mit der Hilti Handausblaspumpe vom Bohrlochgrund mindestens 4-mal ausblasen, bis die rückströmende Luft staubfrei ist.

### Injektionssystem Hilti HIT-HY 200-R

Angaben zum Verwendungszweck  
Montageanweisung

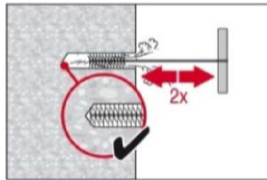
Anhang B9

### Druckluftreinigung (CAC) für alle Bohrlochdurchmesser $d_0$ und Bohrlochtiefen $h_0$



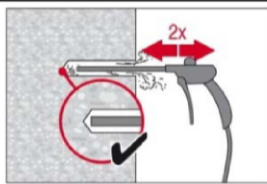
Bohrloch 2-mal vom Bohrlochgrund über die gesamte Länge mit ölfreier Druckluft (min. 6 bar bei 6 m<sup>3</sup>/h; falls notwendig mit Verlängerung) ausblasen, bis die rückströmende Luft staubfrei ist.

Bei Bohrlochdurchmesser  $\geq 32$  mm muss der Kompressor mindestens 140 m<sup>3</sup>/h Luftstrom haben.



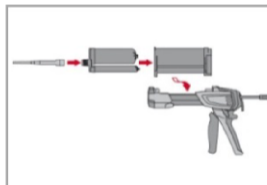
2-mal mit Stahlbürste in passender Größe (siehe Tabelle B8) bürsten. Stahlbürste Hilti HIT-RB mit einer Drehbewegung in das Bohrloch bis zum Bohrlochgrund einführen und wieder herausziehen (falls notwendig mit Verlängerung).

Die Bürste muss beim Einführen einen Widerstand erzeugen (Bürste  $\varnothing \geq$  Bohrloch  $\varnothing$ ) – falls nicht, ist die Bürste zu klein und muss durch eine größere Bürste ersetzt werden.



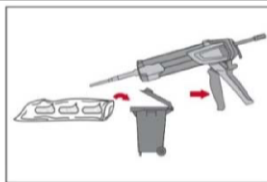
Bohrloch erneut vom Bohrlochgrund über die gesamte Länge 2-mal mit Druckluft ausblasen, bis die rückströmende Luft staubfrei ist.

### Injektionsvorbereitung



Hilti Statikmischer HIT-RE-M fest auf Foliengebinde aufschrauben. Den Mischer unter keinen Umständen verändern.

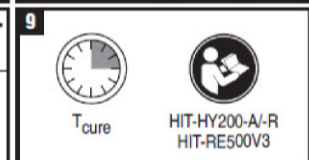
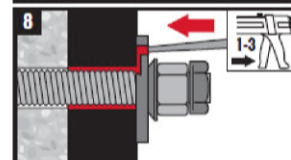
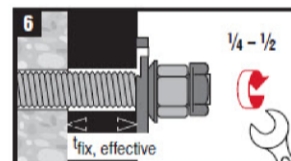
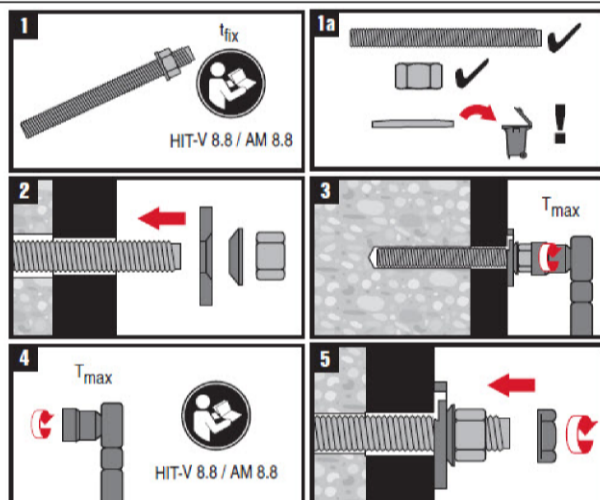
Befolgen Sie die Bedienungsanleitung des Auspressgerätes. Prüfen der Kassette auf einwandfreie Funktion. Keine beschädigten Foliengebinde / Kassette verwenden. Foliengebinde in die Kassette einführen und Kassette in Auspressgerät einsetzen.



Das Öffnen der Foliengebinde erfolgt automatisch bei Auspressbeginn. Der am Anfang aus dem Mischer austretende Mörtelvorlauf darf nicht für Befestigungen verwendet werden. Die Menge des Mörtelvorlaufes ist abhängig von der Gebindegröße:

2 Hübe	für 330 ml Foliengebinde,
3 Hübe	für 500 ml Foliengebinde,
4 Hübe	für 500 ml Foliengebinde $\leq 5$ °C.

### Montageanweisung mit Hilti Verfüll-Set



Size	$t_{fix, effective}$ (mm)
M16	$t_{fix} - 11$ mm
M20	$t_{fix} - 13$ mm
M24	$t_{fix} - 15$ mm

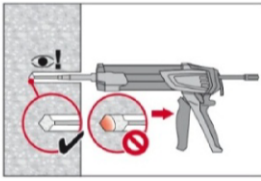


### Injektionssystem Hilti HIT-HY 200-R

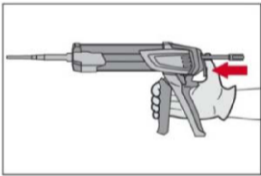
Angaben zum Verwendungszweck  
Montageanweisung

Anhang B10

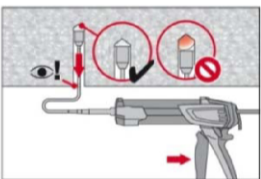
### Injektion des Mörtels vom Bohrlochgrund ohne Luftblasen zu bilden



Injizieren des Mörtels vom Bohrlochgrund und während jedem Hub den Mischer langsam etwas herausziehen.  
Das Bohrloch zu ca. 2/3 verfüllen. Nach dem Einsetzen des Befestigungselementes muss der Ringspalt vollständig mit Mörtel ausgefüllt sein.

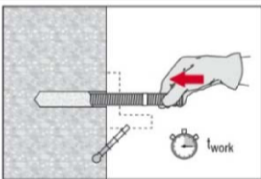


Nach der Mörtelinjektion die Entriegelungstaste am Auspressgerät betätigen, um Mörtelnachlauf zu vermeiden.

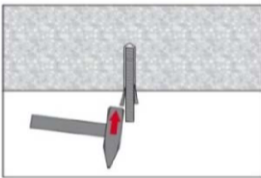


Überkopfanwendung und/oder Montage bei Verankerungstiefen von  $h_{ef} > 250\text{mm}$ .  
Das Injizieren des Mörtels bei Überkopfanwendung ist nur mit Hilfe von Stauzapfen und Verlängerungen möglich.  
HIT-RE-M Mischer, Mischerverlängerung und entsprechenden Stauzapfen Hilti HIT-SZ (siehe Tabelle B8) zusammenfügen. Den Stauzapfen bis zum Bohrlochgrund einführen und Mörtel injizieren. Während der Injektion wird der Stauzapfen über den Staudruck vom Bohrlochgrund automatisch nach außen geschoben.

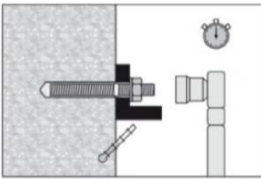
### Setzen des Befestigungselementes



Vor der Montage sicherstellen, dass das Element trocken und frei von Öl und anderen Verunreinigungen ist.  
Befestigungselement markieren und bis zur gewünschten Verankerungstiefe einführen, noch bevor die Verarbeitungszeit  $t_{work}$  abgelaufen ist.  
Verarbeitungszeit  $t_{work}$  siehe Tabelle B7.



Bei Überkopfanwendung das Element in seiner endgültigen Position z.B. mittels Keilen gegen Herausrutschen sichern.



Last bzw. Drehmoment aufbringen:  
Nach Ablauf der Aushärtezeit  $t_{cure}$  (siehe Tabelle B7) kann der Anker belastet werden.  
Das aufzubringende Drehmoment darf die angegebenen Werte  $T_{max}$  in Tabelle B2 bis Tabelle B5.

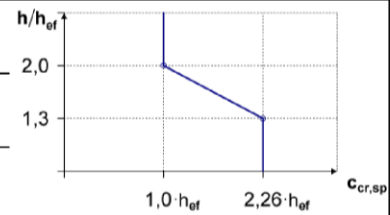
Injektionssystem Hilti HIT-HY 200-R

Angaben zum Verwendungszweck  
Montageanweisung

Anhang B11

**Tabelle C1: Charakteristische Werte der Zugtragfähigkeit für Gewindestangen, HIT-V-... und AM 8.8 in Beton**

HIT-HY 200-R mit Gewindestange, HIT-V-..., AM 8.8			M8	M10	M12	M16	M20	M24	M27	M30
Montagesicherheitsbeiwert	$\gamma_2$	[-]	1,0							
<b>Stahlversagen</b>										
Charakteristische Stahlwiderstand	$N_{Rk,s}$	[kN]	$A_s \cdot f_{uk}$							
Teilsicherheitsbeiwert	$\gamma_{Ms,N}^{1)}$	[-]	1,50							
<b>Kombiniertes Versagen durch Herausziehen und Betonausbruch</b>										
Charakteristische Verbundtragfähigkeit im ungerissenen Beton C20/25										
Temperaturbereich I: 40 °C/24 °C	$\tau_{Rk,ucr}$	[N/mm <sup>2</sup> ]	18							
Temperaturbereich II: 80 °C/50 °C	$\tau_{Rk,ucr}$	[N/mm <sup>2</sup> ]	15							
Temperaturbereich III: 120 °C/72 °C	$\tau_{Rk,ucr}$	[N/mm <sup>2</sup> ]	13							
Charakteristische Verbundtragfähigkeit im gerissenen Beton C50/60										
Temperaturbereich I: 40 °C/24 °C	$\tau_{Rk,cr}$	[N/mm <sup>2</sup> ]	7,5	8,5		9,0				
Temperaturbereich II: 80 °C/50 °C	$\tau_{Rk,cr}$	[N/mm <sup>2</sup> ]	6,0	7,0		7,5				
Temperaturbereich III: 120 °C/72 °C	$\tau_{Rk,cr}$	[N/mm <sup>2</sup> ]	5,5	6,0		6,5				
Erhöhungsfaktor für $\tau_{Rk}$ in Beton	$\psi_c$	C30/37	1,04							
		C40/45	1,07							
		C50/60	1,1							
<b>Versagen durch Spalten</b>										
Randabstand $c_{cr,sp}$ [mm] für	$h / h_{ef} \geq 2,0$		$1,0 \cdot h_{ef}$							
	$2,0 > h / h_{ef} > 1,3$		$4,6 \cdot h_{ef} - 1,8 \cdot h$							
	$h / h_{ef} \leq 1,3$		$2,26 \cdot h_{ef}$							
Achsabstand	$s_{cr,sp}$	[mm]	$2 \cdot c_{cr,sp}$							



<sup>1)</sup> Sofern andere nationale Regelungen fehlen.

**Injektionssystem Hilti HIT-HY 200-R**

**Leistungsfähigkeit**

Charakteristische Werte der Zugtragfähigkeit in Beton  
Bemessung nach „EOTA Technical Report TR 029, Edition September 2010“

**Anhang C1**

**Tabelle C2: Charakteristische Werte der Quertragfähigkeit für Gewindestangen, HIT-V-... und AM 8.8 in Beton**

HIT-HY 200-R mit Gewindestange, HIT-V-..., AM 8.8		M8	M10	M12	M16	M20	M24	M27	M30	
<b>Stahlversagen ohne Hebelarm</b>										
Charakteristische Stahlwiderstand	$V_{Rk,s}$	[kN]	$0,5 \cdot A_s \cdot f_{uk}$							
Teilsicherheitsbeiwert	$\gamma_{Ms,V}$ <sup>1)</sup>	[-]	1,25							
<b>Stahlversagen mit Hebelarm</b>										
Charakteristische Biegemoment	$M^0_{Rk,s}$	[Nm]	$1,2 \cdot W_{el} \cdot f_{uk}$							
<b>Betonausbruch auf der lastabgewandten Seite</b>										
Faktor in Gleichung (5.7) des Technical Report TR 029 für die Bemessung von Verbunddübeln	$k$	[-]	2,0							
<b>Betonkantenbruch</b>										
Der Wert $h_{ef}$ für die Berechnung in den Gleichungen (5.8a) und (5.8b) des Technical Report TR 029 ist begrenzt durch:	$\min(h_{ef}; 12 \cdot d_{nom})$									
Außendurchmesser Dübel	$d_{nom}$	[mm]	8	10	12	16	20	24	27	30

<sup>1)</sup> Sofern andere nationale Regelungen fehlen.

**Injektionssystem Hilti HIT-HY 200-R**

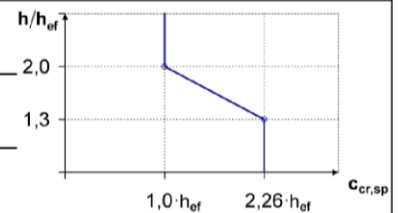
**Leistungsfähigkeit**

Charakteristische Werte der Quertragfähigkeit in Beton  
Bemessung nach „EOTA Technical Report TR 029, Edition September 2010“

**Anhang C2**

**Tabelle C3: Charakteristische Werte der Zugtragfähigkeit für Innengewindehülse HIS-(R)N in Beton**

Hilti HIT-HY 200-R mit HIS-(R)N			M8	M10	M12	M16	M20
Montagesicherheitsbeiwert	$\gamma_2$	[-]	1,0				
<b>Stahlversagen</b>							
HIS-N mit Schraube 8.8	$N_{RK,s}$	[kN]	25	46	67	125	116
Teilsicherheitsbeiwert	$\gamma_{Ms,N}^{1)}$	[-]	1,50				
HIS-RN mit Schraube 70	$N_{RK,s}$	[kN]	26	41	59	110	166
Teilsicherheitsbeiwert	$\gamma_{Ms,N}^{1)}$	[-]	1,87				
<b>Kombiniertes Versagen durch Herausziehen und Betonausbruch</b>							
Verankerungstiefe	$h_{ef}$	[mm]	90	110	125	170	205
Hülsenaußendurchmesser	$d_1$	[mm]	12,5	16,5	20,5	25,4	27,6
Charakteristische Verbundtragfähigkeit im ungerissenen Beton C20/25							
Temperaturbereich I: 40 °C/24 °C	$\tau_{RK,ucr}$	[N/mm <sup>2</sup> ]	13				
Temperaturbereich II: 80 °C/50 °C	$\tau_{RK,ucr}$	[N/mm <sup>2</sup> ]	11				
Temperaturbereich III: 120 °C/72 °C	$\tau_{RK,ucr}$	[N/mm <sup>2</sup> ]	9,5				
Charakteristische Verbundtragfähigkeit im gerissenen Beton C20/25							
Temperaturbereich I: 40 °C/24 °C	$\tau_{RK,cr}$	[N/mm <sup>2</sup> ]	7				
Temperaturbereich II: 80 °C/50 °C	$\tau_{RK,cr}$	[N/mm <sup>2</sup> ]	5,5				
Temperaturbereich III: 120 °C/72 °C	$\tau_{RK,cr}$	[N/mm <sup>2</sup> ]	5				
Erhöhungsfaktor für $\tau_{RK}$ in Beton	$\psi_c$	C30/37	1,04				
		C40/45	1,07				
		C50/60	1,1				
<b>Versagen durch Spalten</b>							
Randabstand $c_{cr,sp}$ [mm] für	$h / h_{ef} \geq 2,0$		$1,0 \cdot h_{ef}$				
	$2,0 > h / h_{ef} > 1,3$		$4,6 \cdot h_{ef} - 1,8 \cdot h$				
	$h / h_{ef} \leq 1,3$		$2,26 \cdot h_{ef}$				
Achsabstand	$s_{cr,sp}$	[mm]	$2 \cdot c_{cr,sp}$				



<sup>1)</sup> Sofern andere nationale Regelungen fehlen.

**Injektionssystem Hilti HIT-HY 200-R**

**Leistungsfähigkeit**

Charakteristische Werte der Zugtragfähigkeit in Beton  
Bemessung nach „EOTA Technical Report TR 029, Edition September 2010“

**Anhang C3**

**Tabelle C4: Charakteristische Werte der Quertragfähigkeit für Innengewindehülse HIS-(R)N in Beton**

Hilti HIT-HY 200-R mit HIS-(R)N			M8	M10	M12	M16	M20		
<b>Stahlversagen ohne Hebelarm</b>									
HIS-N mit Schraube 8.8	$V_{Rk,s}$	[kN]	13	23	34	63	58		
Teilsicherheitsbeiwert	$\gamma_{Ms,V}^{1)}$	[-]	1,25						
HIS-RN mit Schraube 70	$V_{Rk,s}$	[kN]	13	20	30	55	83		
Teilsicherheitsbeiwert	$\gamma_{Ms,V}^{1)}$	[-]	1,56						
<b>Stahlversagen mit Hebelarm</b>									
HIS-N mit Schraube 8.8	$M_{Rk,s}^o$	[Nm]	30	60	105	266	519		
Teilsicherheitsbeiwert	$\gamma_{Ms,V}^{1)}$	[-]	1,25						
HIS-RN mit Schraube 70	$M_{Rk,s}^o$	[Nm]	26	52	92	233	454		
Teilsicherheitsbeiwert	$\gamma_{Ms,V}^{1)}$	[-]	1,56						
<b>Betonausbruch auf der lastabgewandten Seite</b>									
Faktor in Gleichung (5.7) des Technical Report TR 029 für die Bemessung von Verbunddübeln			k					[-]	2,0
<b>Betonkantenbruch</b>									
Außendurchmesser Dübel	$d_{nom}$	[mm]	12,5	16,5	20,5	25,4	27,6		

<sup>1)</sup> Sofern andere nationale Regelungen fehlen.

**Injektionssystem Hilti HIT-HY 200-R**

**Leistungsfähigkeit**

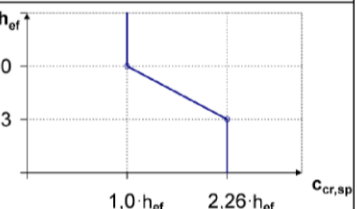
Charakteristische Werte der Quertragfähigkeit in Beton  
Bemessung nach „EOTA Technical Report TR 029, Edition September 2010“

**Anhang C4**

**Tabelle C5: Charakteristische Werte der Zugtragfähigkeit für Hilti Zuganker  
HZA / HZA-R in Beton**

Hilti HIT-HY 200-R mit HZA, HZA-R				M12	M16	M20	M24	M27	
Montagesicherheitsbeiwert	$\gamma_2$		[-]	1,0					
<b>Stahlversagen</b>									
Charakteristische Widerstand HZA	$N_{Rk,s}$		[kN]	46	86	135	194	253	
Charakteristische Widerstand HZA-R	$N_{Rk,s}$		[kN]	62	111	173	248	-	
Teilsicherheitsbeiwert	$\gamma_{Ms,N}^{1)}$		[-]	1,4					
<b>Kombiniertes Versagen durch Herausziehen und Betonausbruch</b>									
Durchmesser des Betonstahl	d		[mm]	12	16	20	25	28	
Charakteristische Verbundtragfähigkeit im ungerissenen Beton C20/25									
Temperaturbereich I: 40 °C/24 °C	$\tau_{Rk,ucr}$		[N/mm <sup>2</sup> ]	12					
Temperaturbereich II: 80 °C/50 °C	$\tau_{Rk,ucr}$		[N/mm <sup>2</sup> ]	10					
Temperaturbereich III: 120 °C/72 °C	$\tau_{Rk,ucr}$		[N/mm <sup>2</sup> ]	8,5					
Charakteristische Verbundtragfähigkeit im gerissenen Beton C20/25									
Temperaturbereich I: 40 °C/24 °C	$\tau_{Rk,cr}$		[N/mm <sup>2</sup> ]	7					
Temperaturbereich II: 80 °C/50 °C	$\tau_{Rk,cr}$		[N/mm <sup>2</sup> ]	5,5					
Temperaturbereich III: 120 °C/72 °C	$\tau_{Rk,cr}$		[N/mm <sup>2</sup> ]	5					
Erhöhungsfaktor für $\tau_{Rk}$ in Beton	$\psi_c$		C30/37	1,04					
				C40/45	1,07				
					C50/60	1,1			
Verankerungstiefe zur Berechnung von $N_{Rk,p}^0$ gem. Formel 5.2a (TR 029, 5.2.2.3 Kombiniertes Versagen durch Herausziehen und Betonausbruch)	HZA	$h_{ef}$	[mm]	$h_{nom} - 20$					
	HZA-R	$h_{ef}$	[mm]	$h_{nom} - 100$					
<b>Betonausbruch</b>									
Verankerungstiefe zur Berechnung von $N_{Rk,c}^0$ gem. Formel 5.3a (TR 029, 5.2.2.4 Betonversagen)	HZA HZA-R	$h_{ef}$	[mm]	$h_{nom}$					
<b>Versagen durch Spalten</b>									
Randabstand $c_{cr,sp}$ [mm] für	$h / h_{ef} \geq 2,0$			$1,0 \cdot h_{ef}$					
	$2,0 > h / h_{ef} > 1,3$			$4,6 \cdot h_{ef} - 1,8 \cdot h$					
	$h / h_{ef} \leq 1,3$			$2,26 \cdot h_{ef}$					
Achsabstand	$s_{cr,sp}$		[mm]	$2 \cdot c_{cr,sp}$					

<sup>1)</sup> Sofern andere nationale Regelungen fehlen.



**Injektionssystem Hilti HIT-HY 200-R**

**Leistungsfähigkeit**  
Charakteristische Werte der Zugtragfähigkeit in Beton  
Bemessung nach „EOTA Technical Report TR 029, Edition September 2010“

**Anhang C5**

**Tabelle C6: Charakteristische Werte der Quertragfähigkeit für Hilti Zuganker  
HZA / HZA-R in Beton**

Hilti HIT-HY 200-R mit HZA, HZA-R		M12	M16	M20	M24	M27
<b>Stahlversagen ohne Hebelarm</b>						
Charakteristische Stahlwiderstand HZA	$V_{Rk,s}$ [kN]	23	43	67	97	126
Charakteristische Stahlwiderstand HZA-R	$V_{Rk,s}$ [kN]	31	55	86	124	-
Teilsicherheitsbeiwert	$\gamma_{Ms,N}^{1)}$ [-]	1,5				
<b>Stahlversagen mit Hebelarm</b>						
Charakteristische Biegemoment HZA	$M_{Rk,s}^0$ [Nm]	72	183	357	617	915
Charakteristische Biegemoment HZA-R	$M_{Rk,s}^0$ [Nm]	97	234	457	790	-
Teilsicherheitsbeiwert	$\gamma_{Ms,N}^{1)}$ [-]	1,5				
<b>Betonausbruch auf der lastabgewandten Seite</b>						
Faktor in Gleichung (5.7) des Technical Report TR 029 für die Bemessung von Verbunddübeln	k [-]	2,0				
<b>Betonkantenbruch</b>						
Der Wert $h_{ef}$ für die Berechnung in den Gleichungen (5.8a) und (5.8b) des Technical Report TR 029 ist begrenzt durch:		min ( $h_{nom}$ ; $12 \cdot d_{nom}$ )				
Außendurchmesser Dübel	$d_{nom}$ [mm]	12	16	20	24	27

<sup>1)</sup> Sofern andere nationale Regelungen fehlen.

**Injektionssystem Hilti HIT-HY 200-R**

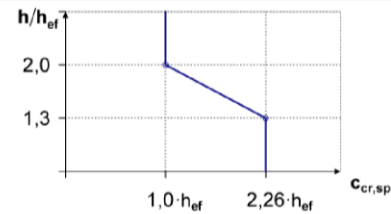
**Leistungsfähigkeit**

Charakteristische Werte der Quertragfähigkeit in Beton  
Bemessung nach „EOTA Technical Report TR 029, Edition September 2010“

**Anhang C6**

**Tabelle C7: Charakteristische Werte der Zugtragfähigkeit für Betonstahl in Beton**

HIT-HY 200-R mit Betonstahl		φ 8	φ 10	φ 12	φ 14	φ 16	φ 20	φ 25	φ 26	φ 28	φ 30	φ 32	
Montagesicherheitsbeiwert	$\gamma_2$ [-]	1,0											
<b>Stahlversagen</b>													
Charakteristische Stahlwiderstand mit Betonstahl B500B gemäß DIN 488:2009-08 <sup>2)</sup>	$N_{Rk,s}$ [kN]	28	43	62	85	111	173	270	292	339	388	442	
Teilsicherheitsbeiwert <sup>3)</sup>	$\gamma_{Ms,N}$ <sup>1)</sup> [-]	1,4											
<b>Kombiniertes Versagen durch Herausziehen und Betonausbruch</b>													
Durchmesser des Betonstahl	d [mm]	8	10	12	14	16	20	25	26	28	30	32	
Charakteristische Verbundtragfähigkeit im ungerissenen Beton C20/25													
Temperaturbereich I: 40 °C/24 °C	$\tau_{RK,ucr}$ [N/mm <sup>2</sup> ]	12											
Temperaturbereich II: 80 °C/50 °C	$\tau_{RK,ucr}$ [N/mm <sup>2</sup> ]	10											
Temperaturbereich III: 120 °C/72 °C	$\tau_{RK,ucr}$ [N/mm <sup>2</sup> ]	8,5											
Charakteristische Verbundtragfähigkeit im gerissenen Beton C20/25													
Temperaturbereich I: 40 °C/24 °C	$\tau_{RK,cr}$ [N/mm <sup>2</sup> ]	-	5						7				
Temperaturbereich II: 80 °C/50 °C	$\tau_{RK,cr}$ [N/mm <sup>2</sup> ]	-	4						5,5				
Temperaturbereich III: 120 °C/72 °C	$\tau_{RK,cr}$ [N/mm <sup>2</sup> ]	-	3,5						5				
Erhöhungsfaktor für $\tau_{RK}$ in Beton	$\psi_c$	C30/37					1,04						
		C40/45					1,07						
		C50/60					1,1						
<b>Versagen durch Spalten</b>													
Randabstand $c_{cr,sp}$ [mm] für	$h / h_{ef} \geq 2,0$	$1,0 \cdot h_{ef}$											
	$2,0 > h / h_{ef} > 1,3$	$4,6 \cdot h_{ef} - 1,8 \cdot h$											
	$h / h_{ef} \leq 1,3$	$2,26 \cdot h_{ef}$											
Achsabstand	$s_{cr,sp}$ [mm]	$2 c_{cr,sp}$											



<sup>1)</sup> Sofern andere nationale Regelungen fehlen.  
<sup>2)</sup> Die charakteristische Zugtragfähigkeit  $N_{Rk,s}$  für Betonstahl, der DIN 488 nicht entspricht, ist gemäß Technical Report TR029, Gleichung (5.1) zu berechnen.  
<sup>3)</sup> Die Teilsicherheitsbeiwert  $\gamma_{Ms,N}$  für Betonstahl, der DIN 488 nicht entspricht, ist gemäß Technical Report TR029, Gleichung (3.3a) zu berechnen

<b>Injektionssystem Hilti HIT-HY 200-R</b>	<b>Anhang C7</b>
<b>Leistungsfähigkeit</b> Charakteristische Werte der Quertragfähigkeit in Beton Bemessung nach „EOTA Technical Report TR 029, Edition September 2010“	

elektronische Kopie der eta des dibt: eta-12/0084

**Tabelle C8: Charakteristische Werte der Quertragfähigkeit für Betonstahl**

HIT-HY 200-R mit Betonstahl	$\phi$ 8	$\phi$ 10	$\phi$ 12	$\phi$ 14	$\phi$ 16	$\phi$ 20	$\phi$ 25	$\phi$ 26	$\phi$ 28	$\phi$ 30	$\phi$ 32		
<b>Stahlversagen ohne Hebelarm</b>													
Charakteristische Stahlwiderstand mit Betonstahl B500B gemäß DIN 488:2009-08 <sup>2)</sup>	$V_{Rk,s}$	[kN]	14	22	31	42	55	86	135	146	169	194	221
Teilsicherheitsbeiwert <sup>4)</sup>	$\gamma_{Ms,V}$ <sup>1)</sup>	[-]	1,50										
<b>Stahlversagen mit Hebelarm</b>													
Charakteristische Biegemoment mit Betonstahl B500B gemäß DIN 488:2009-08 <sup>3)</sup>	$M^o_{Rk,s}$	[Nm]	33	65	112	178	265	518	1012	1139	1422	1749	2123
<b>Betonausbruch auf der lastabgewandten Seite</b>													
Faktor in Gleichung (5.7) des Technical Report TR 029 für die Bemessung von Verbunddübeln	k	[-]	2,0										
<b>Betonkantenbruch</b>													
Der Wert $h_{ef}$ für die Berechnung in den Gleichungen (5.8a) und (5.8b) des Technical Report TR 029 ist begrenzt durch:	$\min(h_{ef}; 12 \cdot d_{nom})$												
Außendurchmesser Dübel	$d_{nom}$	[mm]	8	10	12	14	16	20	25	26	28	30	32

<sup>1)</sup> Sofern andere nationale Regelungen fehlen.

<sup>2)</sup> Die charakteristische Quertragfähigkeit  $V_{Rk,s}$  für Betonstahl, die nicht der DIN 488 entspricht, ist gemäß Technical Report TR 029, Gleichung (5.5) zu berechnen.

<sup>3)</sup> Die charakteristische Biegetragfähigkeit  $M^o_{Rk,s}$  für Betonstahl, die nicht der DIN 488 entspricht, ist gemäß Technical Report TR 029, Gleichung (5.6b) zu berechnen.

<sup>4)</sup> Die Teilsicherheitsbeiwert  $\gamma_{Ms,V}$  für Betonstahl, die nicht der DIN 488 entspricht, ist gemäß Technical Report TR 029, Gleichung (3.3b) oder Gleichung (3.3c) zu berechnen.

**Injektionssystem Hilti HIT-HY 200-R**

**Leistungsfähigkeit**

Charakteristische Werte der Quertragfähigkeit in Beton  
Bemessung nach „EOTA Technical Report TR 029, Edition September 2010“

**Anhang C8**

**Tabelle C9: Verschiebungen unter Zuglast**

Hilti HIT-HY 200-R mit Gewindestange, HIT-V-... AM 8.8			M8	M10	M12	M16	M20	M24	M27	M30
Ungerissener Beton Temperaturbereich I : 40°C / 24°C										
Verschiebung	$\delta_{N0}$	[mm/(N/mm <sup>2</sup> )]	0,02	0,03	0,03	0,04	0,06	0,07	0,07	0,08
	$\delta_{N\infty}$	[mm/(N/mm <sup>2</sup> )]	0,04	0,05	0,06	0,08	0,10	0,13	0,14	0,16
Ungerissener Beton Temperaturbereich II : 80°C / 50°C										
Verschiebung	$\delta_{N0}$	[mm/(N/mm <sup>2</sup> )]	0,03	0,04	0,05	0,06	0,08	0,09	0,10	0,12
	$\delta_{N\infty}$	[mm/(N/mm <sup>2</sup> )]	0,04	0,05	0,06	0,09	0,11	0,13	0,15	0,16
Ungerissener Beton Temperaturbereich III : 120°C / 72°C										
Verschiebung	$\delta_{N0}$	[mm/(N/mm <sup>2</sup> )]	0,04	0,05	0,06	0,08	0,10	0,12	0,13	0,16
	$\delta_{N\infty}$	[mm/(N/mm <sup>2</sup> )]	0,04	0,05	0,07	0,09	0,11	0,13	0,15	0,17
Gerissener Beton Temperaturbereich I : 40°C / 24°C										
Verschiebung	$\delta_{N0}$	[mm/(N/mm <sup>2</sup> )]	0,07							
	$\delta_{N\infty}$	[mm/(N/mm <sup>2</sup> )]	0,16							
Gerissener Beton Temperaturbereich II : 80°C / 50°C										
Verschiebung	$\delta_{N0}$	[mm/(N/mm <sup>2</sup> )]	0,10							
	$\delta_{N\infty}$	[mm/(N/mm <sup>2</sup> )]	0,22							
Gerissener Beton Temperaturbereich III : 120°C / 72°C										
Verschiebung	$\delta_{N0}$	[mm/(N/mm <sup>2</sup> )]	0,13							
	$\delta_{N\infty}$	[mm/(N/mm <sup>2</sup> )]	0,29							

**Tabelle C10: Verschiebungen unter Querlast**

Hilti HIT-HY 200-R mit Gewindestange, HIT-V-... AM 8.8			M8	M10	M12	M16	M20	M24	M27	M30
Verschiebung	$\delta_{V0}$	[mm/kN]	0,06	0,06	0,05	0,04	0,04	0,03	0,03	0,03
	$\delta_{V\infty}$	[mm/kN]	0,09	0,08	0,08	0,06	0,06	0,05	0,05	0,05

**Injektionssystem Hilti HIT-HY 200-R**

**Leistungsfähigkeit**  
Verschiebungen mit Gewindestange, HIT-V-... und AM 8.8

**Anhang C9**

**Tabelle C11: Verschiebungen unter Zuglast**

Hilti HIT-HY 200-R mit HIS-(R)N		M8	M10	M12	M16	M20
Ungerissener Beton Temperaturbereich I : 40°C / 24°C						
Verschiebung	$\delta_{N0}$ [mm/(N/mm <sup>2</sup> )]	0,03	0,05	0,06	0,07	0,08
	$\delta_{N\infty}$ [mm/(N/mm <sup>2</sup> )]	0,06	0,09	0,11	0,13	0,14
Ungerissener Beton Temperaturbereich II : 80°C / 50°C						
Verschiebung	$\delta_{N0}$ [mm/(N/mm <sup>2</sup> )]	0,05	0,06	0,08	0,10	0,11
	$\delta_{N\infty}$ [mm/(N/mm <sup>2</sup> )]	0,07	0,09	0,11	0,13	0,15
Ungerissener Beton Temperaturbereich III : 120°C / 72°C						
Verschiebung	$\delta_{N0}$ [mm/(N/mm <sup>2</sup> )]	0,06	0,08	0,10	0,13	0,14
	$\delta_{N\infty}$ [mm/(N/mm <sup>2</sup> )]	0,07	0,09	0,11	0,14	0,15
Gerissener Beton Temperaturbereich I : 40°C / 24°C						
Verschiebung	$\delta_{N0}$ [mm/(N/mm <sup>2</sup> )]	0,11				
	$\delta_{N\infty}$ [mm/(N/mm <sup>2</sup> )]	0,16				
Gerissener Beton Temperaturbereich II : 80°C / 50°C						
Verschiebung	$\delta_{N0}$ [mm/(N/mm <sup>2</sup> )]	0,15				
	$\delta_{N\infty}$ [mm/(N/mm <sup>2</sup> )]	0,22				
Gerissener Beton Temperaturbereich III : 120°C / 72°C						
Verschiebung	$\delta_{N0}$ [mm/(N/mm <sup>2</sup> )]	0,20				
	$\delta_{N\infty}$ [mm/(N/mm <sup>2</sup> )]	0,29				

**Tabelle C12: Verschiebungen unter Querlast**

Hilti HIT-HY 200-R mit HIS-(R)N		M8	M10	M12	M16	M20
Verschiebung	$\delta_{V0}$ [mm/kN]	0,06	0,06	0,05	0,04	0,04
	$\delta_{V\infty}$ [mm/kN]	0,09	0,08	0,08	0,06	0,06

**Injektionssystem Hilti HIT-HY 200-R**

**Leistungsfähigkeit**  
Verschiebungen mit HIS-(R)N

**Anhang C10**

**Tabelle C13: Verschiebungen unter Zuglast**

Hilti HIT-HY 200-R mit HZA, HZA-R			M12	M16	M20	M24	M27
Ungerissener Beton Temperaturbereich I : 40°C / 24°C							
Verschiebung	$\delta_{N0}$	[mm/(N/mm <sup>2</sup> )]	0,03	0,04	0,06	0,07	0,08
	$\delta_{N\infty}$	[mm/(N/mm <sup>2</sup> )]	0,06	0,08	0,13	0,13	0,15
Ungerissener Beton Temperaturbereich II : 80°C / 50°C							
Verschiebung	$\delta_{N0}$	[mm/(N/mm <sup>2</sup> )]	0,05	0,06	0,08	0,10	0,11
	$\delta_{N\infty}$	[mm/(N/mm <sup>2</sup> )]	0,06	0,09	0,14	0,14	0,15
Ungerissener Beton Temperaturbereich III : 120°C / 72°C							
Verschiebung	$\delta_{N0}$	[mm/(N/mm <sup>2</sup> )]	0,06	0,08	0,10	0,12	0,14
	$\delta_{N\infty}$	[mm/(N/mm <sup>2</sup> )]	0,07	0,09	0,14	0,14	0,16
Gerissener Beton Temperaturbereich I : 40°C / 24°C							
Verschiebung	$\delta_{N0}$	[mm/(N/mm <sup>2</sup> )]	0,11				
	$\delta_{N\infty}$	[mm/(N/mm <sup>2</sup> )]	0,16				
Gerissener Beton Temperaturbereich II : 80°C / 50°C							
Verschiebung	$\delta_{N0}$	[mm/(N/mm <sup>2</sup> )]	0,15				
	$\delta_{N\infty}$	[mm/(N/mm <sup>2</sup> )]	0,22				
Gerissener Beton Temperaturbereich III : 120°C / 72°C							
Verschiebung	$\delta_{N0}$	[mm/(N/mm <sup>2</sup> )]	0,20				
	$\delta_{N\infty}$	[mm/(N/mm <sup>2</sup> )]	0,29				

**Tabelle C14: Verschiebungen unter Querlast**

Hilti HIT-HY 200-R mit HZA, HZA-R			M12	M16	M20	M24	M27
Verschiebung	$\delta_{V0}$	[mm/kN]	0,05	0,04	0,04	0,03	0,03
	$\delta_{V\infty}$	[mm/kN]	0,08	0,06	0,06	0,05	0,05

**Injektionssystem Hilti HIT-HY 200-R**

**Leistungsfähigkeit**  
Verschiebungen mit HZA, HZA-R

**Anhang C11**

**Tabelle C15: Verschiebungen unter Zuglast**

Hilti HIT-HY 200-R mit Betonstahl	φ 8	φ 10	φ 12	φ 14	φ 16	φ 20	φ 25	φ 26	φ 28	φ 30	φ 32		
Ungerissener Beton Temperaturbereich I : 40°C / 24°C													
Verschiebung	$\delta_{N0}$ [mm/(N/mm <sup>2</sup> )]	0,02	0,03	0,03	0,04	0,04	0,06	0,07	0,08	0,08	0,09	0,09	
	$\delta_{N\infty}$ [mm/(N/mm <sup>2</sup> )]	0,04	0,05	0,06	0,07	0,08	0,10	0,13	0,14	0,15	0,16	0,17	
Ungerissener Beton Temperaturbereich II : 80°C / 50°C													
Verschiebung	$\delta_{N0}$ [mm/(N/mm <sup>2</sup> )]	0,03	0,04	0,05	0,05	0,06	0,08	0,10	0,11	0,11	0,12	0,12	
	$\delta_{N\infty}$ [mm/(N/mm <sup>2</sup> )]	0,04	0,05	0,06	0,07	0,09	0,11	0,14	0,15	0,15	0,16	0,17	
Ungerissener Beton Temperaturbereich III : 120°C / 72°C													
Verschiebung	$\delta_{N0}$ [mm/(N/mm <sup>2</sup> )]	0,04	0,05	0,06	0,07	0,08	0,10	0,12	0,13	0,14	0,15	0,16	
	$\delta_{N\infty}$ [mm/(N/mm <sup>2</sup> )]	0,04	0,05	0,07	0,08	0,09	0,11	0,14	0,15	0,16	0,17	0,18	
Gerissener Beton Temperaturbereich I : 40°C / 24°C													
Verschiebung	$\delta_{N0}$ [mm/(N/mm <sup>2</sup> )]						0,11						
	$\delta_{N\infty}$ [mm/(N/mm <sup>2</sup> )]						0,16						
Gerissener Beton Temperaturbereich II : 80°C / 50°C													
Verschiebung	$\delta_{N0}$ [mm/(N/mm <sup>2</sup> )]						0,15						
	$\delta_{N\infty}$ [mm/(N/mm <sup>2</sup> )]						0,22						
Gerissener Beton Temperaturbereich III : 120°C / 72°C													
Verschiebung	$\delta_{N0}$ [mm/(N/mm <sup>2</sup> )]						0,20						
	$\delta_{N\infty}$ [mm/(N/mm <sup>2</sup> )]						0,29						

**Tabelle C16: Verschiebungen unter Querlast**

Hilti HIT-HY 200-R mit Betonstahl	φ 8	φ 10	φ 12	φ 14	φ 16	φ 20	φ 25	φ 26	φ 28	φ 30	φ 32
Verschiebung	$\delta_{V0}$ [mm/kN]	0,06	0,05	0,05	0,04	0,04	0,04	0,03	0,03	0,03	0,03
	$\delta_{V\infty}$ [mm/kN]	0,09	0,08	0,07	0,06	0,06	0,05	0,05	0,05	0,04	0,04

**Injektionssystem Hilti HIT-HY 200-R**

**Leistungsfähigkeit**  
Verschiebungen mit Betonstahl

**Anhang C12**

Die seismische Bemessung erfolgt gemäß TR 045 „Design of metal anchors for use in concrete under seismic action“

**Tabelle C17: Charakteristische Werte der Zugtragfähigkeit für Gewindestangen, HIT-V-... und AM 8.8 bei Erdbebenbeanspruchung, Leistungskategorie C1**

HIT-HY 200-R mit Gewindestange, HIT-V-..., AM 8.8		M8	M10	M12	M16	M20	M24	M27	M30
<b>Stahlversagen</b>									
HIT-V-5.8(F), Gewindestange 5.8	$N_{Rk,s,seis}$ [kN]	-	29	42	79	123	177	230	281
HIT-V-8.8(F), Gewindestange 8.8	$N_{Rk,s,seis}$ [kN]	-	46	67	126	196	282	367	449
HIT-V-R, Gewindestange A4-70	$N_{Rk,s,seis}$ [kN]	-	41	59	110	172	247	230	281
HIT-V-HCR, Gewindestange-HCR-80	$N_{Rk,s,seis}$ [kN]	-	46	67	126	196	247	321	393
<b>Kombiniertes Versagen durch Herausziehen und Betonausbruch</b>									
Charakteristische Verbundtragfähigkeit in gerissenem Beton C20/25									
Temperaturbereich I: 40 °C/24 °C	$\tau_{Rk,seis}$ [N/mm <sup>2</sup> ]	-	5,2	7,0					
Temperaturbereich II: 80 °C/50 °C	$\tau_{Rk,seis}$ [N/mm <sup>2</sup> ]	-	3,9	5,7					
Temperaturbereich III: 120 °C/72 °C	$\tau_{Rk,seis}$ [N/mm <sup>2</sup> ]	-	3,5	4,8					

**Tabelle C18: Charakteristische Werte der Quertragfähigkeit für Gewindestangen, HIT-V-... und AM 8.8 bei Erdbebenbeanspruchung, Leistungskategorie C1**

HIT-HY 200-R mit Gewindestange, HIT-V-..., AM 8.8		M8	M10	M12	M16	M20	M24	M27	M30
<b>Stahlversagen ohne Hebelarm</b>									
HIT-V 5.8(F), Gewindestange 5.8	$V_{Rk,s,seis}$ [kN]	-	11	15	27	43	62	81	98
HIT-V 8.8(F), Gewindestange 8.8	$V_{Rk,s,seis}$ [kN]	-	16	24	44	69	99	129	157
HIT-V R, Gewindestange A4-70	$V_{Rk,s,seis}$ [kN]	-	14	21	39	60	87	81	98
HIT-V HCR, Gewindestange HCR-80	$V_{Rk,s,seis}$ [kN]	-	16	24	44	69	87	113	137

**Tabelle C19: Verschiebungen unter Zuglast bei Erdbebenbeanspruchung, Leistungskategorie C1**

HIT-HY 200-R mit Gewindestange, HIT-V-..., AM 8.8		M8	M10	M12	M16	M20	M24	M27	M30
Verschiebung <sup>1)</sup>	$\delta_{N,seis}$ [mm]	-	0,8	0,8	0,8	0,8	0,8	0,8	0,8

<sup>1)</sup> Maximale Verschiebung während der zyklischen Beanspruchung (Erdbeben).

**Tabelle C20: Verschiebungen unter Querlast bei Erdbebenbeanspruchung, Leistungskategorie C1**

HIT-HY 200-R mit Gewindestange, HIT-V-..., AM 8.8		M8	M10	M12	M16	M20	M24	M27	M30
Verschiebung <sup>1)</sup>	$\delta_{V,seis}$ [mm]	-	3,5	3,8	4,4	5,0	5,6	6,1	6,5

<sup>1)</sup> Maximale Verschiebung während der zyklischen Beanspruchung (Erdbeben).

**Injektionssystem Hilti HIT-HY 200-R**

**Leistungsfähigkeit**

Charakteristische Werte / Verschiebung bei Erdbebenbeanspruchung, Leistungskat. C1  
Bemessung nach „EOTA Technical Report TR045, Edition Februar 2013“

**Anhang C13**

**Tabelle C21: Charakteristische Werte der Zugtragfähigkeit für Hilti Zuganker HZA / HZA-R bei Erdbebenbeanspruchung, Leistungskategorie C1**

HIT-HY 200-R mit Hilti Zuganker HZA, HZA-R		M12	M16	M20	M24	M27
<b>Stahlversagen</b>						
Charakteristische Stahlwiderstand HZA	$N_{Rk,s,seis}$ [kN]	46	86	135	194	253
Charakteristische Stahlwiderstand HZA-R	$N_{Rk,s,seis}$ [kN]	62	111	173	248	-
Teilsicherheitsbeiwert	$\gamma_{Ms,N,seis}$ <sup>1)</sup> [-]	1,4				
<b>Kombiniertes Versagen durch Herausziehen und Betonausbruch</b>						
Durchmesser des Betonstahls	$d$ [mm]	12	16	20	25	28
Charakteristische Verbundtragfähigkeit im gerissenen Beton C20/25						
Temperaturbereich I:	40°C/24°C	$\tau_{Rk,cr}$ [N/mm <sup>2</sup> ]	6,1			
Temperaturbereich II:	80°C/50°C	$\tau_{Rk,cr}$ [N/mm <sup>2</sup> ]	4,8			
Temperaturbereich III:	120°C/72°C	$\tau_{Rk,cr}$ [N/mm <sup>2</sup> ]	4,4			

<sup>1)</sup> Sofern andere nationale Regelungen fehlen.

**Tabelle C22: Charakteristische Werte der Quertragfähigkeit für Hilti Zuganker HZA / HZA-R bei Erdbebenbeanspruchung, Leistungskategorie C1**

HIT-HY 200-R mit Hilti Zuganker HZA, HZA-R		M12	M16	M20	M24	M27
<b>Stahlversagen mit Hebelarm</b>						
Charakteristische Biegemoment HZA	$V_{Rk,s,seis}$ [kN]	16	30	47	68	88
Charakteristische Biegemoment HZA-R	$V_{Rk,s,seis}$ [kN]	22	39	60	127	-
Teilsicherheitsbeiwert	$\gamma_{Ms,V,seis}$ <sup>1)</sup> [-]	1,5				

<sup>1)</sup> Sofern andere nationale Regelungen fehlen.

**Tabelle C23: Verschiebungen unter Zuglast bei Erdbebenbeanspruchung, Leistungskategorie C1**

HIT-HY 200-R mit Hilti Zuganker HZA, HZA-R		M12	M16	M20	M24	M27
Verschiebung <sup>1)</sup>	$\delta_{N,seis}$ [mm]	1,3	1,3	1,3	1,3	1,3

<sup>1)</sup> Maximale Verschiebung während der zyklischen Beanspruchung (Erdbeben).

**Tabelle C24: Verschiebungen unter Querlast bei Erdbebenbeanspruchung, Leistungskategorie C1**

HIT-HY 200-R mit Hilti Zuganker HZA, HZA-R		M12	M16	M20	M24	M27
Verschiebung <sup>1)</sup>	$\delta_{V,seis}$ [mm]	3,8	4,4	5,0	5,6	6,1

<sup>1)</sup> Maximale Verschiebung während der zyklischen Beanspruchung (Erdbeben).

**Injektionssystem Hilti HIT-HY 200-R**

**Leistungsfähigkeit**

Charakteristische Werte / Verschiebung bei Erdbebenbeanspruchung, Leistungskat. C1  
Bemessung nach „EOTA Technical Report TR045, Edition Februar 2013“

**Anhang C14**

**Tabelle C25: Charakteristische Werte der Zugtragfähigkeit für Betonstahl bei Erdbebenbeanspruchung, Leistungskategorie C1**

HIT-HY 200-R mit Betonstahl	φ 8	φ 10	φ 12	φ 14	φ 16	φ 20	φ 25	φ 26	φ 28	φ 30	φ 32	
<b>Stahlversagen</b>												
Charakteristische Stahlwiderstand mit Betonstahl B500B gemäß DIN 488:2009-08 <sup>1)</sup>	$N_{Rk,s,seis}$ [kN]	-	43	62	85	111	173	270	292	339	388	442
<b>Kombiniertes Versagen durch Herausziehen und Betonausbruch</b>												
Durchmesser des Betonstahl d [mm]	-	10	12	14	16	20	25	26	28	30	32	
Charakteristische Verbundtragfähigkeit im gerissenen Beton C20/25												
Temperaturbereich I: 40°C/24°C	$\tau_{Rk,cr}$ [N/mm <sup>2</sup> ]	-	4,4					6,1				
Temperaturbereich II: 80°C/50°C	$\tau_{Rk,cr}$ [N/mm <sup>2</sup> ]	-	3,5					4,8				
Temperaturbereich III: 120°C/72°C	$\tau_{Rk,cr}$ [N/mm <sup>2</sup> ]	-	3					4,4				

<sup>1)</sup> Die charakteristische Zugtragfähigkeit  $N_{Rk,s,seis}$  für Betonstahl, die nicht der DIN 488 entspricht, ist gemäß Technical Report TR 029, Gleichung (5.1) zu berechnen,  $N_{Rk,s,seis} = N_{Rk,s}$ .

**Tabelle C26: Charakteristische Werte der Quertragfähigkeit für Betonstahl bei Erdbebenbeanspruchung, Leistungskategorie C1**

HIT-HY 200-R mit Betonstahl	φ 8	φ 10	φ 12	φ 14	φ 16	φ 20	φ 25	φ 26	φ 28	φ 30	φ 32	
<b>Stahlversagen ohne Hebelarm</b>												
Charakteristische Stahlwiderstand mit Betonstahl B500B gemäß DIN 488:2009-08 <sup>1)</sup>	$V_{Rk,s,seis}$ [kN]	-	15	22	29	39	60	95	102	118	135	165

<sup>1)</sup> Die charakteristische Quertragfähigkeit  $V_{Rk,s,seis}$  für Betonstahl, die nicht der DIN 488 entspricht, ist gemäß Technical Report TR 029, Gleichung (5.5) zu berechnen,  $V_{Rk,s,seis} = 0,7 \times V_{Rk,s}$ .

**Tabelle C27: Verschiebungen unter Zuglast bei Erdbebenbeanspruchung, Leistungskategorie C1**

Hilti HIT-HY 200-R mit Betonstahl	φ 8	φ 10	φ 12	φ 14	φ 16	φ 20	φ 25	φ 26	φ 28	φ 30	φ 32
Verschiebung <sup>1)</sup>	$\delta_{N,seis}$ [mm]	-	1,3	1,3	1,3	1,3	1,3	1,3	1,3	1,3	1,3

<sup>1)</sup> Maximale Verschiebung während der zyklischen Beanspruchung (Erdbeben).

**Tabelle C28: Verschiebungen unter Querlast bei Erdbebenbeanspruchung, Leistungskategorie C1**

Hilti HIT-HY 200-R mit Betonstahl	φ 8	φ 10	φ 12	φ 14	φ 16	φ 20	φ 25	φ 26	φ 28	φ 30	φ 32	
Verschiebung <sup>1)</sup>	$\delta_{V,seis}$ [mm]	-	3,5	3,8	4,1	4,4	5,0	5,8	6,2	6,2	6,8	6,8

<sup>1)</sup> Maximale Verschiebung während der zyklischen Beanspruchung (Erdbeben).

**Injektionssystem Hilti HIT-HY 200-R**

**Leistungsfähigkeit**

Charakteristische Werte / Verschiebung bei Erdbebenbeanspruchung, Leistungskat. C1  
 Bemessung nach „EOTA Technical Report TR045, Edition Februar 2013“

**Anhang C15**

**Tabelle C29: Charakteristische Werte der Zugtragfähigkeit für Gewindestangen, HIT-V 8.8 und AM 8.8 bei Erdbebenbeanspruchung, Leistungskategorie C2**

HIT-HY 200-R mit Gewindestange, HIT-V 8.8, AM 8.8	M8	M10	M12	M16	M20	M24	M27	M30
<b>Stahlversagen</b>								
HIT-V 8.8, AM 8.8	$N_{Rk,s,seis}$ [kN]		-	126	196	282	-	-
<b>Kombiniertes Versagen durch Herausziehen und Betonausbruch</b>								
Charakteristische Verbundtragfähigkeit in gerissenem Beton C20/25, in hammergebohrten Bohrlöchern (TE-CD und TE-YD)								
Temperaturbereich I: 40 °C/24 °C	$\tau_{Rk,seis}$ [N/mm <sup>2</sup> ]		-	3,9	4,3	3,5	-	-
Temperaturbereich II: 80 °C/50 °C	$\tau_{Rk,seis}$ [N/mm <sup>2</sup> ]		-	3,3	3,7	2,9	-	-
Temperaturbereich III: 120 °C/72 °C	$\tau_{Rk,seis}$ [N/mm <sup>2</sup> ]		-	2,8	3,2	2,5	-	-

**Tabelle C30: Charakteristische Werte der Quertragfähigkeit für Gewindestangen, HIT-V 8.8 und AM 8.8 bei Erdbebenbeanspruchung, Leistungskategorie C2**

HIT-HY 200-R mit Gewindestange, HIT-V 8.8, AM 8.8	M8	M10	M12	M16	M20	M24	M27	M30
<b>Stahlversagen ohne Hebelarm, Montage mit Hilti Verfüll-Set</b>								
HIT-V 8.8, AM 8.8	$V_{Rk,s,seis}$ [kN]		-	46	77	103	-	-
<b>Stahlversagen ohne Hebelarm, Montage ohne Hilti Verfüll-Set</b>								
HIT-V 8.8, AM 8.8	$V_{Rk,s,seis}$ [kN]		-	40	71	90	-	-
Handelsübliche Gewindestange 8.8	$V_{Rk,s,seis}$ [kN]		-	28	50	63	-	-

**Tabelle C31: Verschiebungen unter Zuglast bei Erdbebenbeanspruchung, Leistungskategorie C2**

HIT-HY 200-R mit Gewindestange, HIT-V 8.8, AM 8.8	M8	M10	M12	M16	M20	M24	M27	M30
Verschiebung DLS	$\delta_{N,seis(DLS)}$ [mm]		-	0,2	0,5	0,4	-	-
Verschiebung ULS	$\delta_{N,seis(ULS)}$ [mm]		-	0,6	0,8	1,0	-	-

**Tabelle C32: Verschiebungen unter Querlast bei Erdbebenbeanspruchung, Leistungskategorie C2**

HIT-HY 200-R mit Gewindestange, HIT-V 8.8, AM 8.8	M8	M10	M12	M16	M20	M24	M27	M30
<b>Montage mit Hilti Verfüll-Set</b>								
Verschiebung DLS, HIT-V 8.8, AM 8.8	$\delta_{V,seis(DLS)}$ [mm]		-	1,2	1,42	1,1	-	-
Verschiebung ULS, HIT-V 8.8, AM 8.8	$\delta_{V,seis(ULS)}$ [mm]		-	3,2	3,8	2,6	-	-
<b>Montage ohne Hilti Verfüll-Set</b>								
Verschiebung DLS, HIT-V 8.8, AM 8.8	$\delta_{V,seis(DLS)}$ [mm]		-	3,2	2,5	3,5	-	-
Verschiebung ULS, HIT-V 8.8, AM 8.8	$\delta_{V,seis(ULS)}$ [mm]		-	9,2	7,1	10,2	-	-

**Injektionssystem Hilti HIT-HY 200-R**

**Leistungsfähigkeit**  
Charakteristische Werte / Verschiebung bei Erdbebenbeanspruchung, Leistungskat. C2  
Bemessung nach „EOTA Technical Report TR045, Edition Februar 2013“

**Anhang C16**